

Figura 248. Componente real de la J del rotor. $f_e=50\text{Hz}$ - $f_r=2\text{Hz}$ - $s=0.20$. $p=20$.

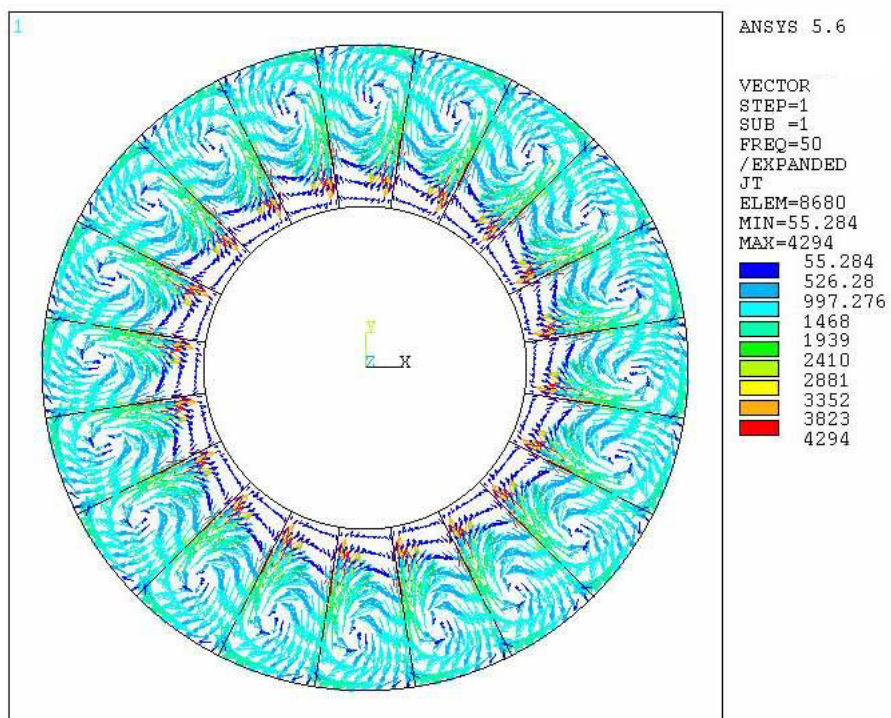


Figura 249. Componente imaginaria de la J del rotor. $f_e=50\text{Hz}$ - $f_r=2\text{Hz}$ - $s=0.20$. $p=20$.

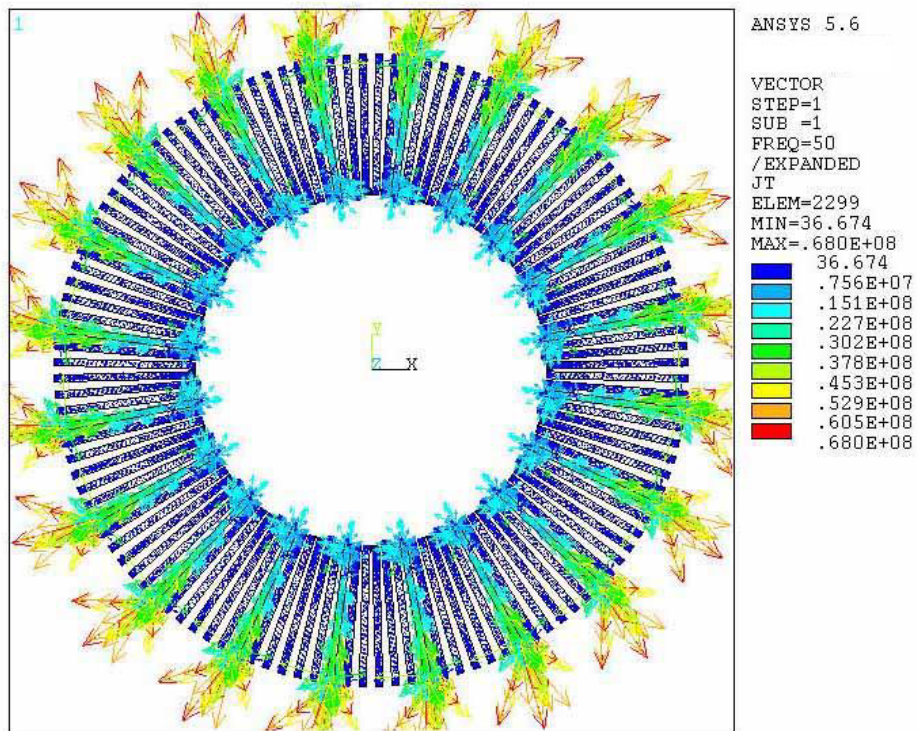


Figura 250. Componente real de las corrientes estáticas.
 $f_e=50\text{Hz}$ - $f_r=2\text{Hz}$ - $s=0.20$, $p=20$.

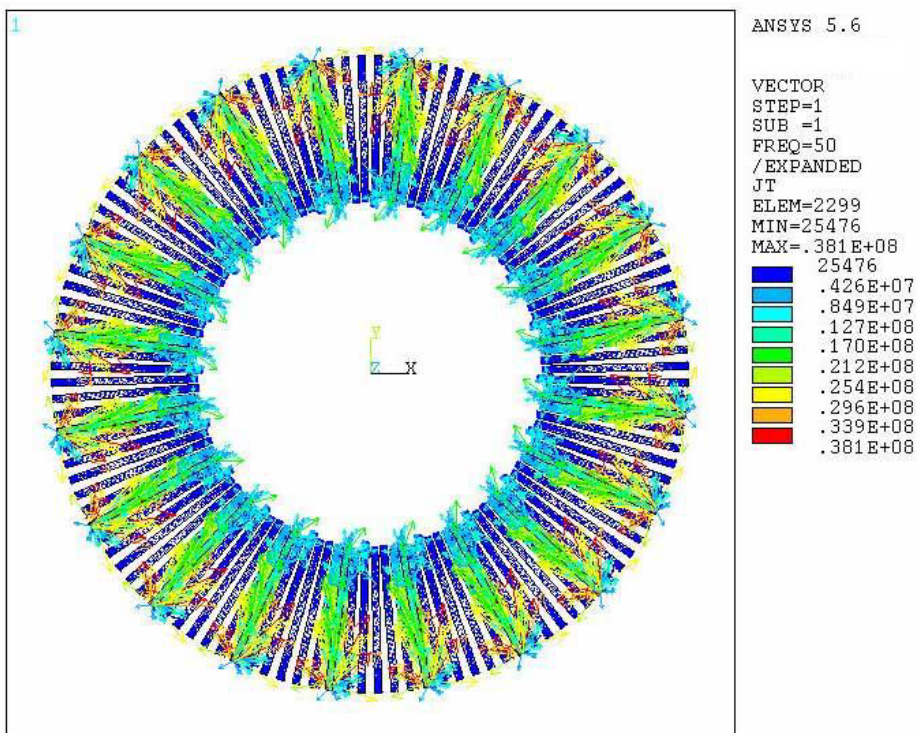


Figura 251. Componente imaginaria de las corrientes estáticas.
 $f_e=50\text{Hz}$ - $f_r=2\text{Hz}$ - $s=0.20$, $p=20$.

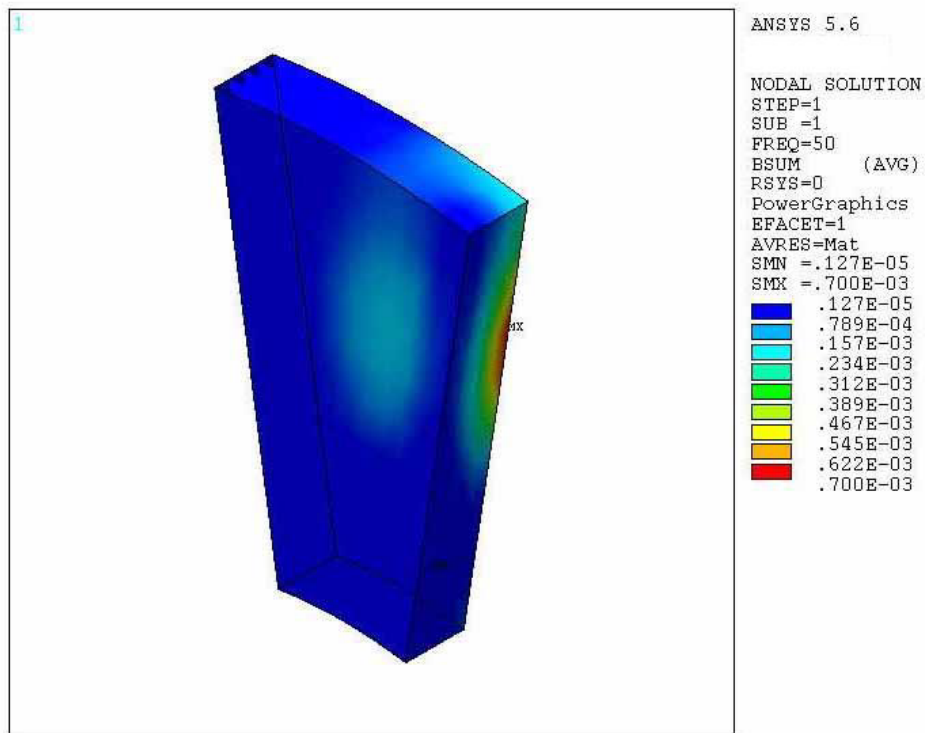


Figura 252. Componente real de la densidad de campo B. $f_e=50\text{Hz}$
- $f_r=2\text{Hz}$ - $s=0.20$. Distribución por par de polos $p=20$.

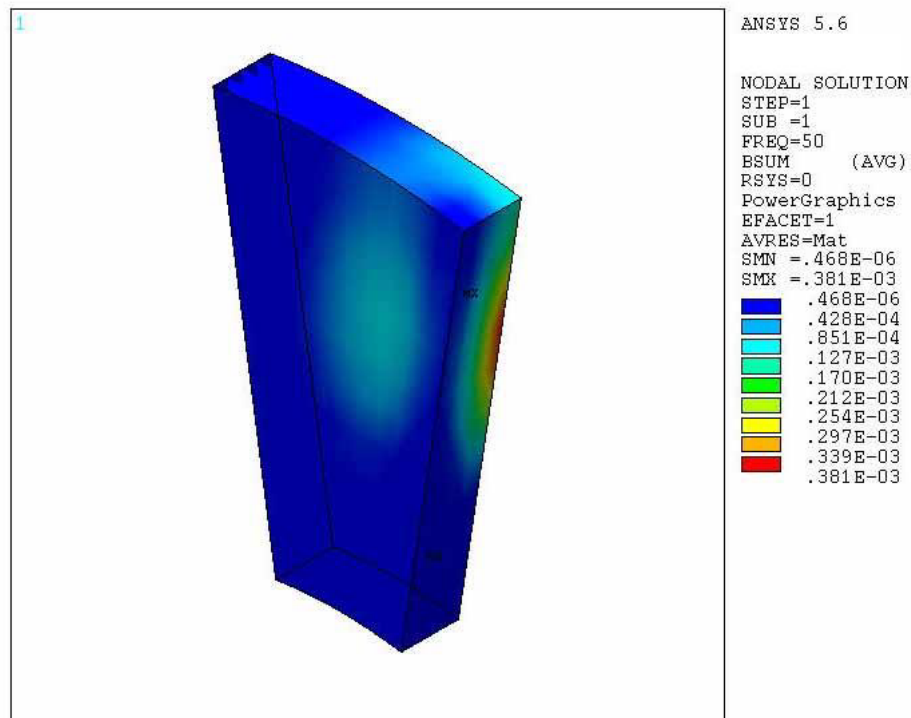


Figura 253. Componente imaginaria de la densidad de campo B.
 $f_e=50\text{Hz}$ - $f_r=2\text{Hz}$ - $s=0.20$. Distribución por par de polos $p=20$.

A.1.2.4. $s=0.40$ - $fr=1.5\text{Hz}$.

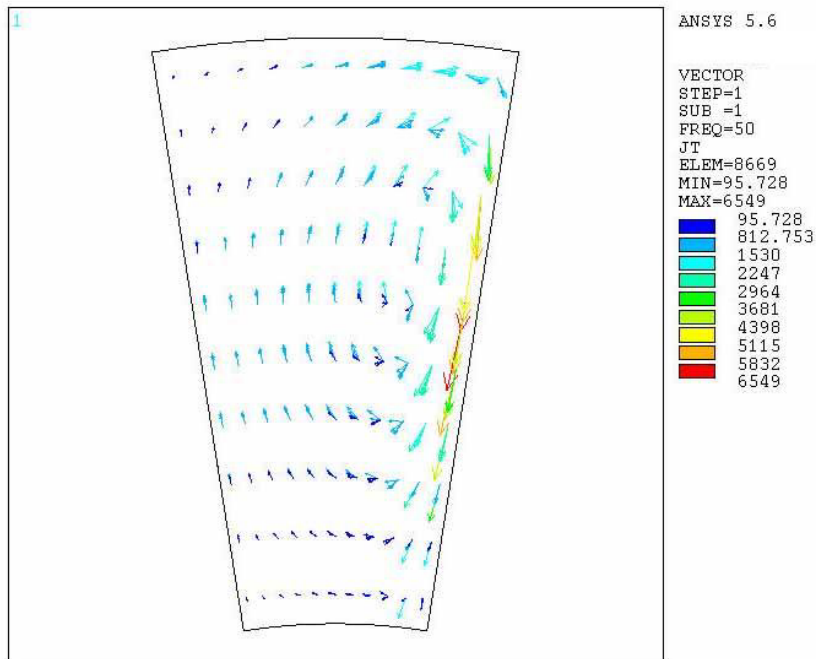


Figura 254. Componente real de la J del rotor. $f_e=50\text{Hz}$ - $fr=1.5\text{Hz}$ - $s=0.40$. Distribución por par de polos $p=20$.

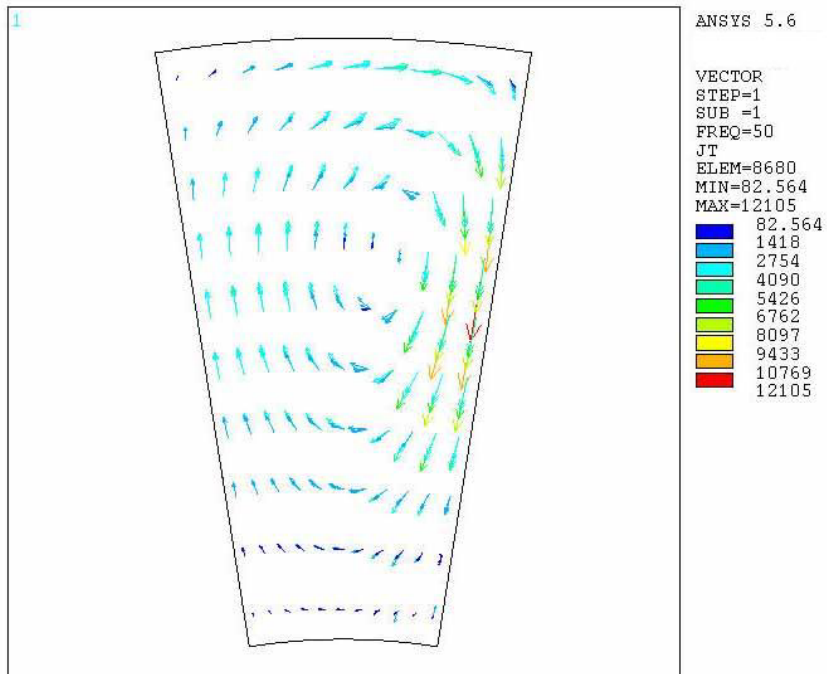


Figura 255. Componente imaginaria de la J del rotor. $f_e=50\text{Hz}$ - $fr=1.5\text{Hz}$ - $s=0.40$. Distribución por par de polos $p=20$.

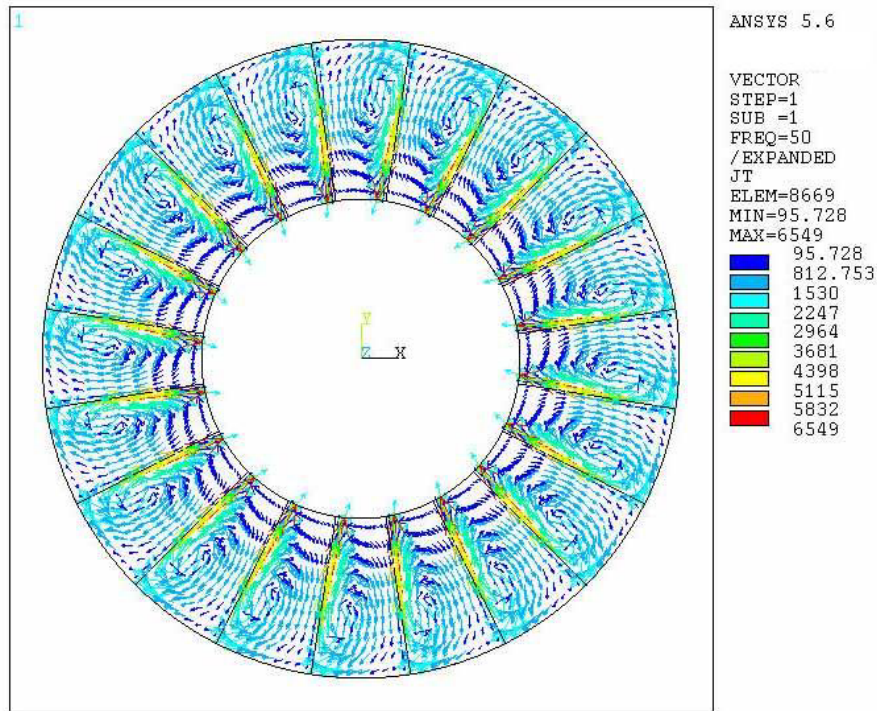


Figura 256. Componente real de la J del rotor. $f_e=50\text{Hz}$ - $f_r=1.5\text{Hz}$ - $s=0.40$. $p=20$.

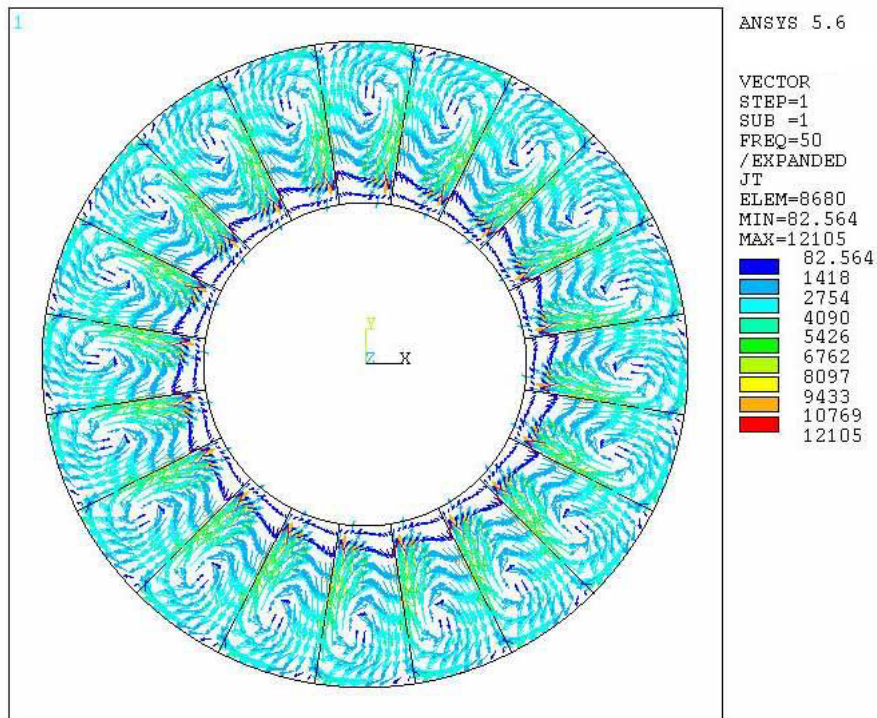


Figura 257. Componente imaginaria de la J del rotor. $f_e=50\text{Hz}$ - $f_r=1.5\text{Hz}$ - $s=0.40$. $p=20$.

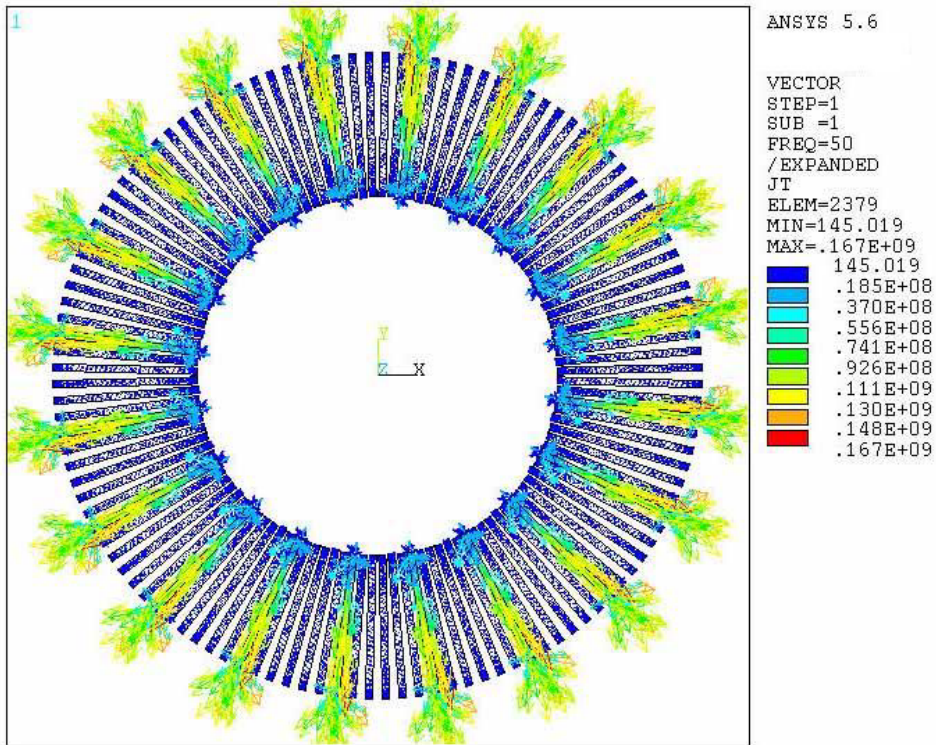


Figura 258. Componente imaginaria de las corrientes estáticas.
 $f_e=50\text{Hz}$ - $f_r=1.5\text{Hz}$ - $s=0.40$. $p=20$.

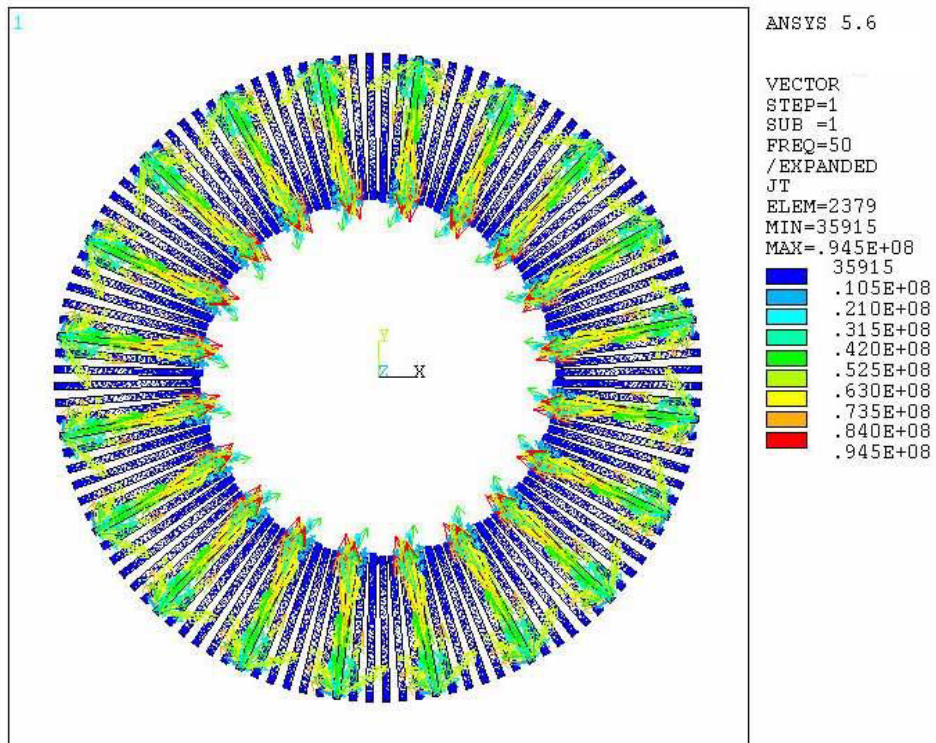


Figura 259. Componente imaginaria de las corrientes estáticas.
 $f_e=50\text{Hz}$ - $f_r=1.5\text{Hz}$ - $s=0.40$. $p=20$.

A.1.2.5. $s=0.50$ - $fr=1.25Hz$.

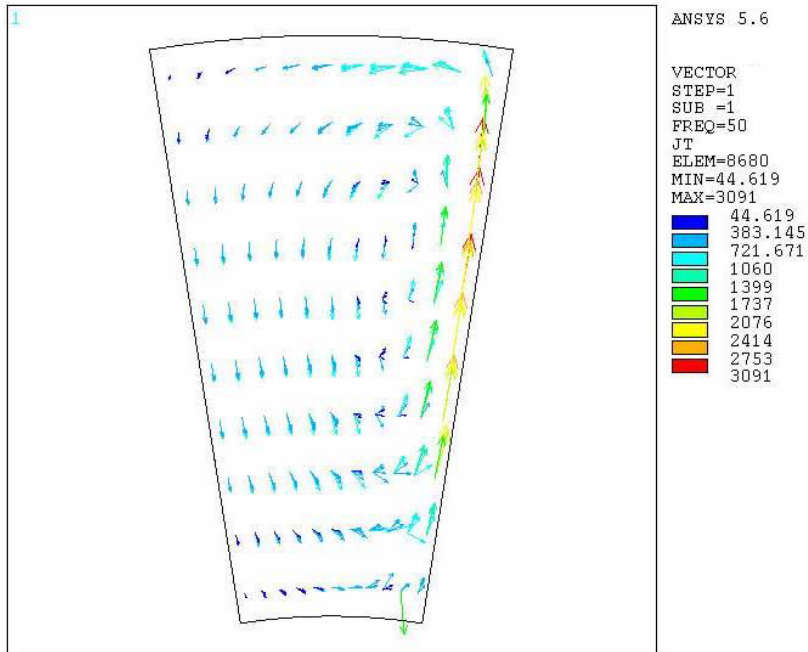


Figura 260. Componente real de la J del rotor. $f_e=50Hz$ - $f_r=1.25Hz$ - $s=0.50$. Distribución por par de polos $p=20$.

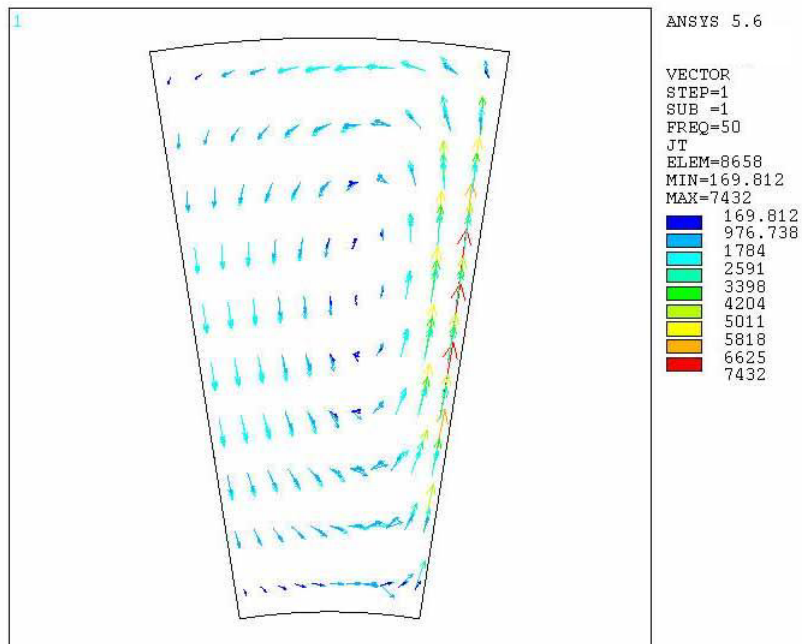


Figura 261. Componente imaginaria de la J del rotor. $f_e=50Hz$ - $f_r=1.25Hz$ - $s=0.50$. Distribución por par de polos $p=20$.

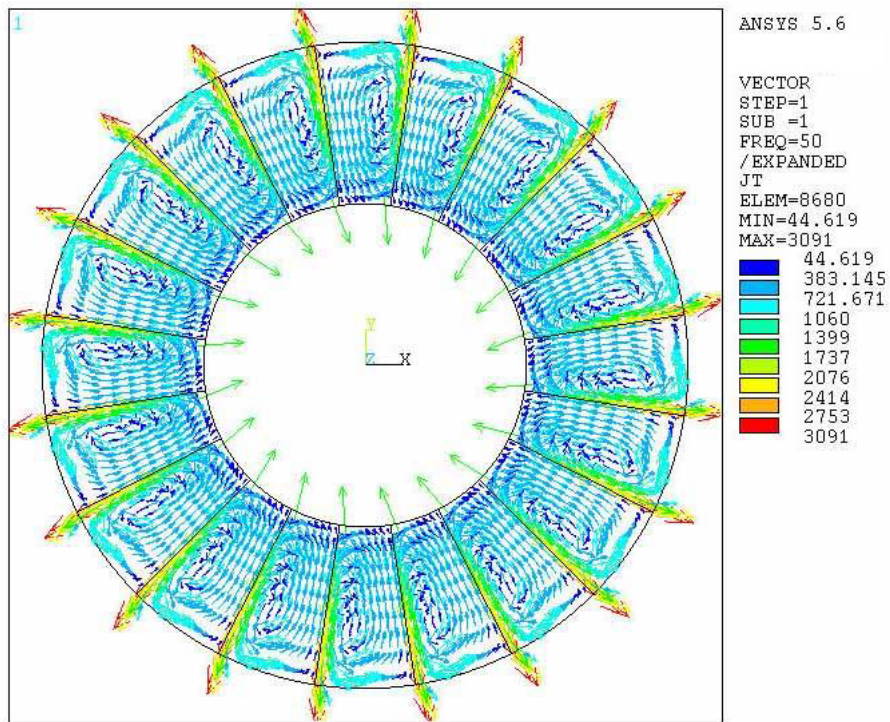


Figura 262. Componente real de la J del rotor. $f_e=50\text{Hz}$ - $f_r=1.25\text{Hz}$ - $s=0.50$. $p=20$.

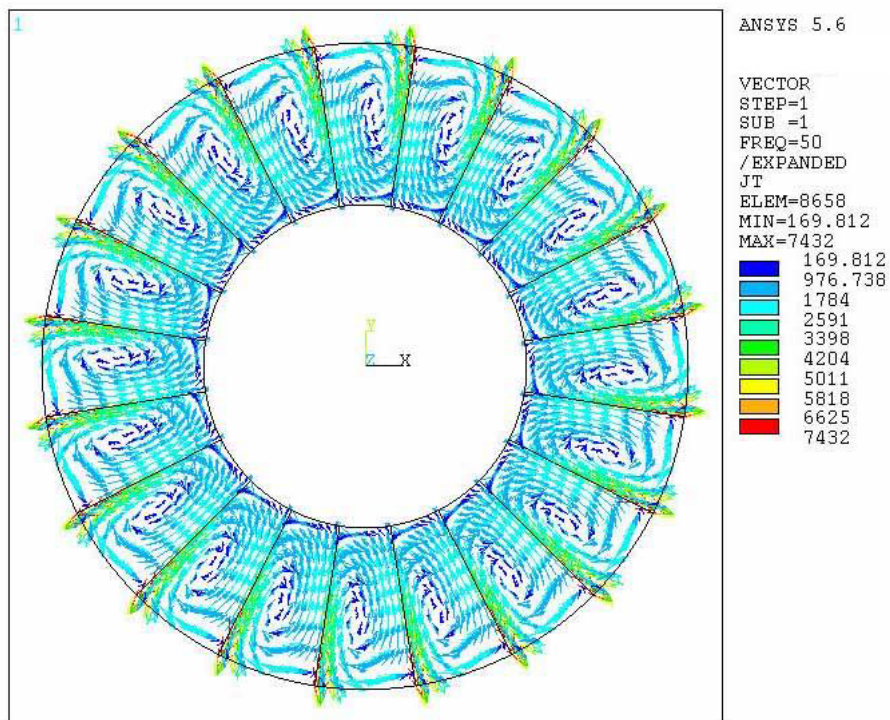


Figura 263. Componente imaginaria de la J del rotor. $f_e=50\text{Hz}$ - $f_r=1.25\text{Hz}$ - $s=0.50$. $p=20$.

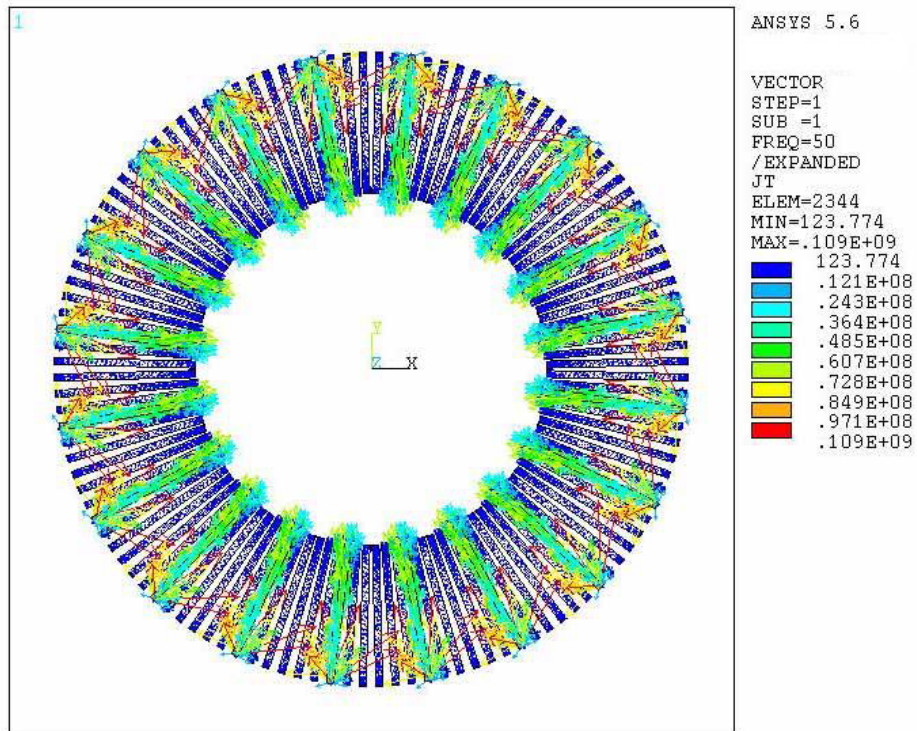


Figura 264. Componente real de las corrientes estáticas.
 $f_e=50\text{Hz}$ - $f_r=1.25\text{Hz}$ - $s=0.50$, $p=20$.

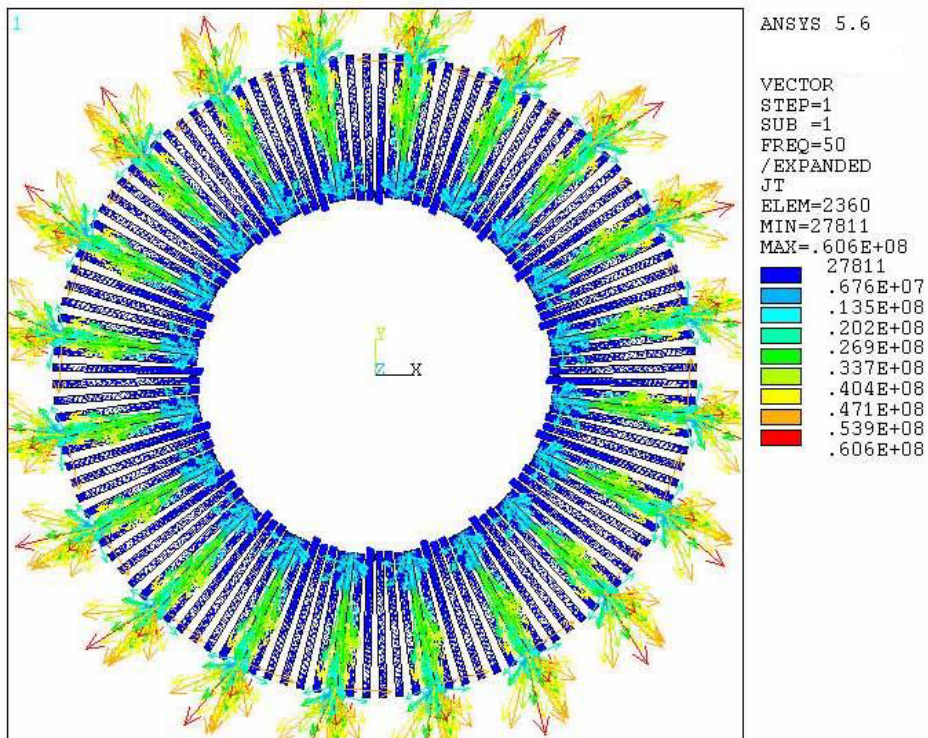


Figura 265. Componente imaginaria de las corrientes estáticas.
 $f_e=50\text{Hz}$ - $f_r=1.25\text{Hz}$ - $s=0.50$, $p=20$.

A.1.2.6. $s=0.60$ - $fr=1Hz$.

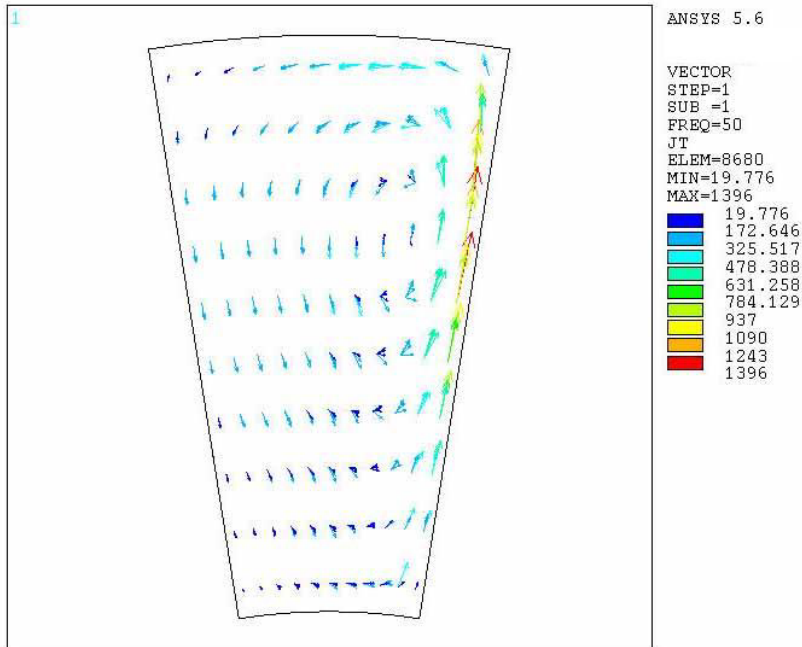


Figura 266. Componente real de la J del rotor. $f_e=50Hz$ - $f_r=1Hz$ - $s=0.60$. Distribución por par de polos $p=20$.

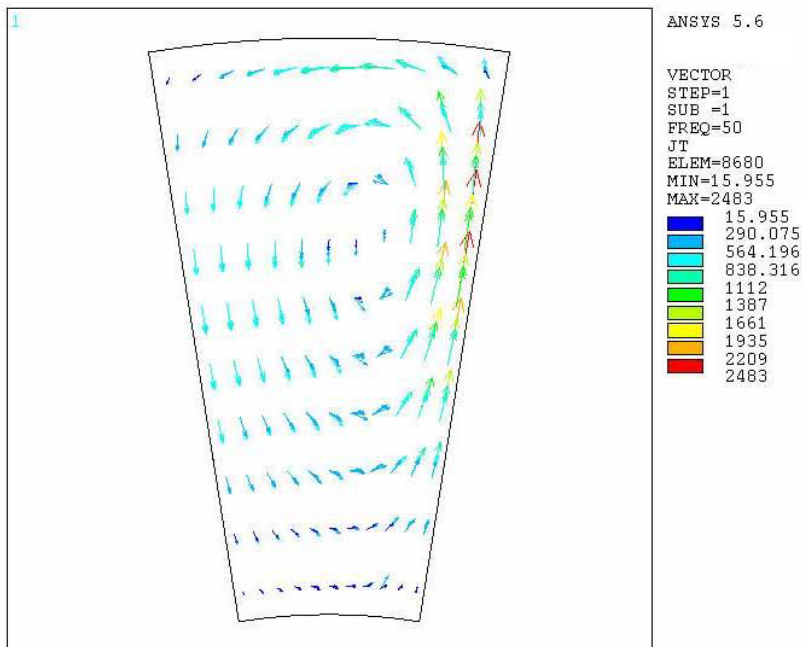


Figura 267. Componente imaginaria de la J del rotor. $f_e=50Hz$ - $f_r=1Hz$ - $s=0.60$. Distribución por par de polos $p=20$.